



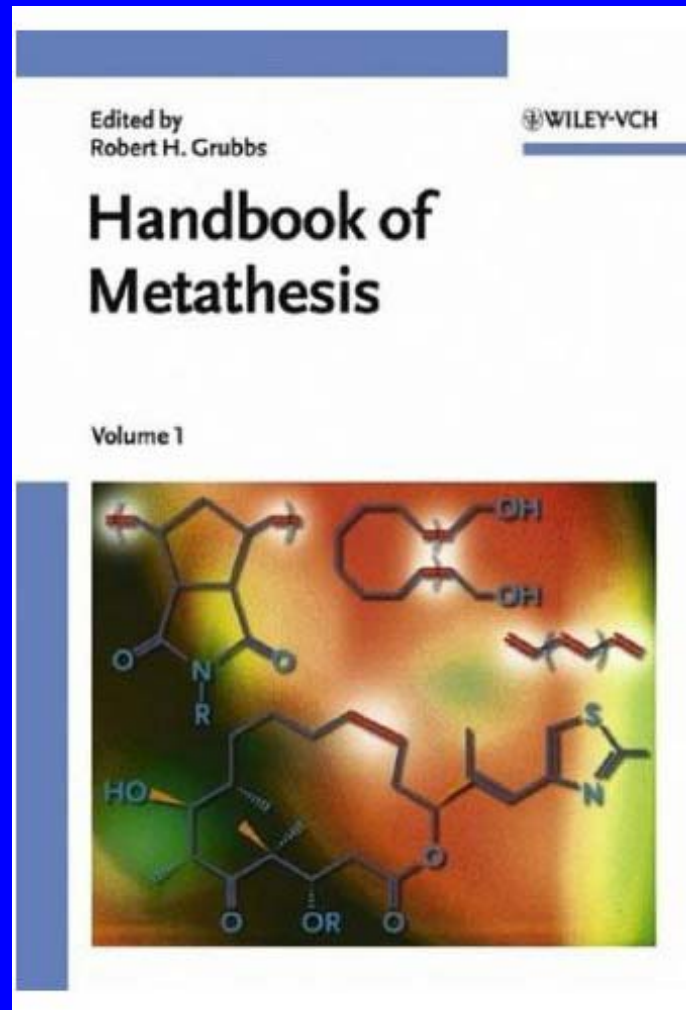
Metathese in der Oleochemie

S. Warwel

- ehemals -

Institut für Lipidforschung,
Bundesanstalt für Getreide-, Kartoffel- und Fettforschung,
Münster

Metathesis



Chemie – Nobelpreis 2005



Y. Chauvin



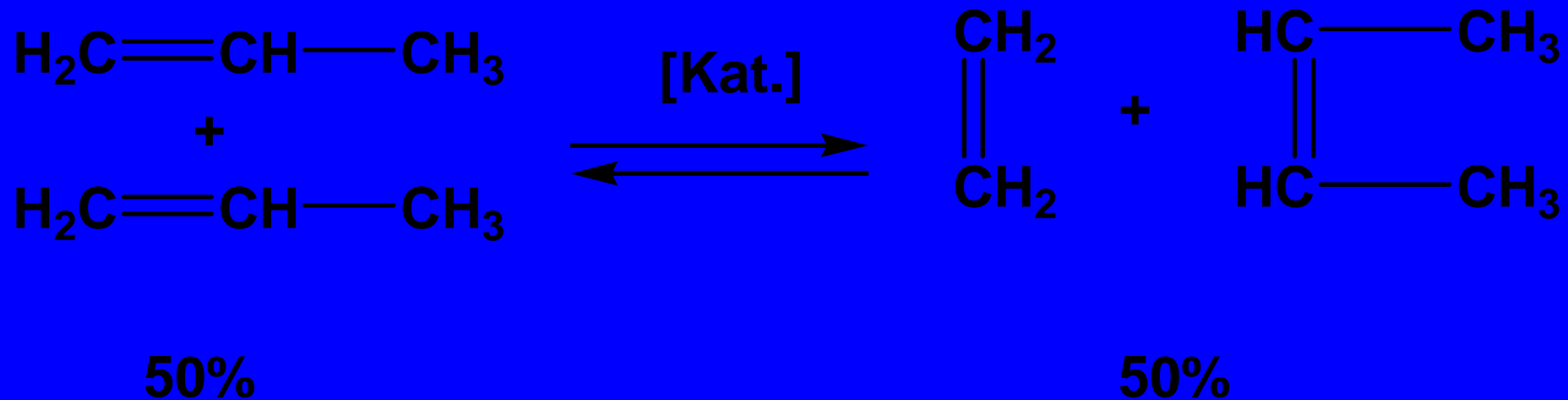
R.H. Grubbs



R.R. Schrock

2003 Volume 1-3

Phillips – Triolefin – Prozess

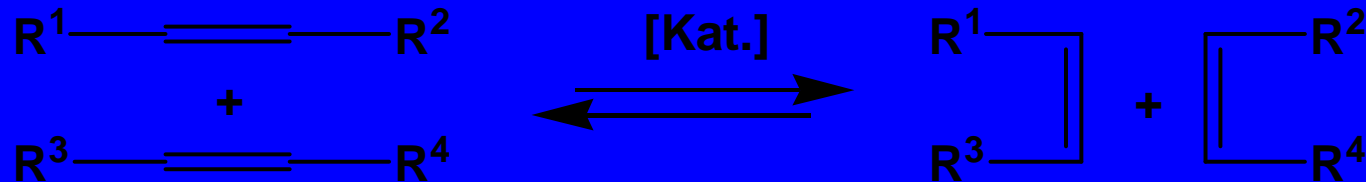


Co-MoO₃ / Al₂O₃ bei 150°C; WO₃ / SiO₂ bei 300°C

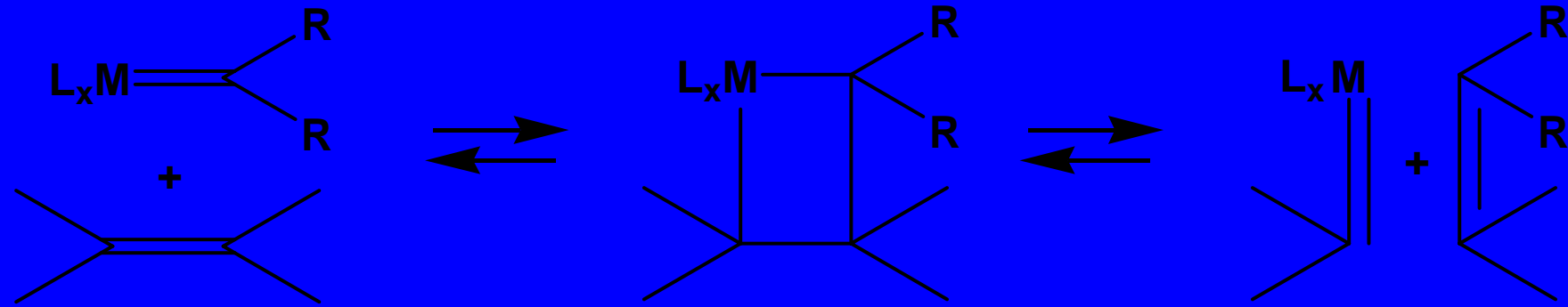
R.L. Blanks und G.C. Bailey,
Ind. Eng. Chem. Prod. Res. Develop. 3, 170 (1960)

Olefin-Metathese

Reaktionsmuster



Mechanismus



Katalysatoren

heterogen

Re_2O_7 / Al_2O_3

$CoO-MoO_3 / Al_2O_3$

WO_3 / SiO_2

homogen

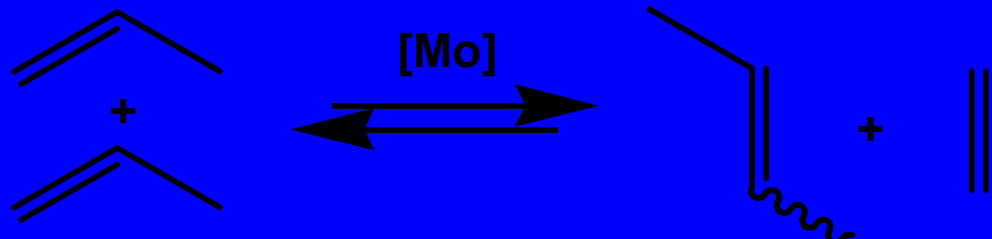
$MoCl_2(NO)_2(PR_3)_2 / RAICl_2$

$WCl_6 / EtOH / EtAlCl_2$

$WCl_6 / Et_2O / SnR_4$

Industrielle Anwendungen

A) Phillips – Triolefin – Prozess



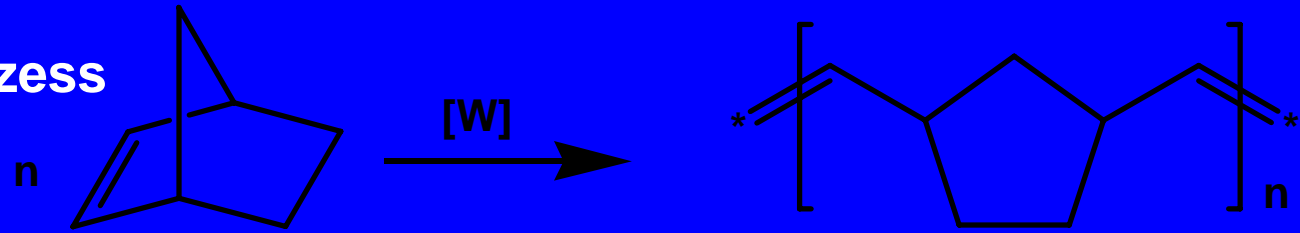
B) Shell – Higher – Olefin – Prozess (SHOP)

Kurzkettige Olefine

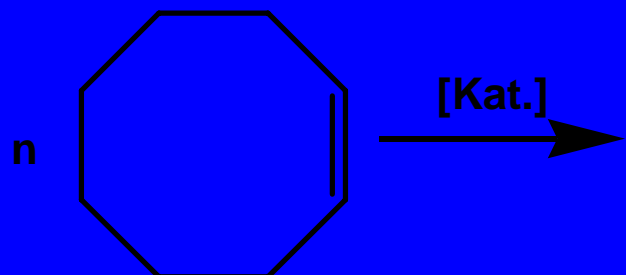
+ Langkettige Olefine

↔ olefine mittlerer Länge (C₁₁-C₁₄)

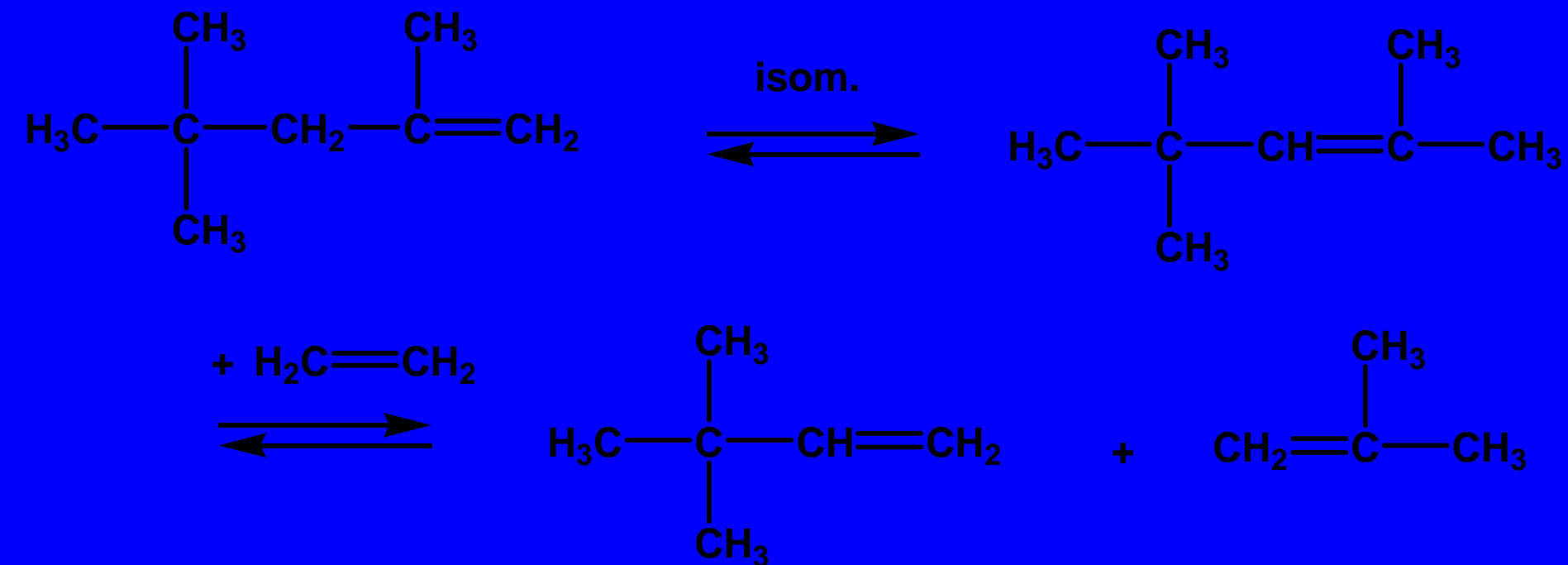
C) Norsorex – Prozess



D) Hüls – Vestenamer – Verfahren



Neohexen – Prozess



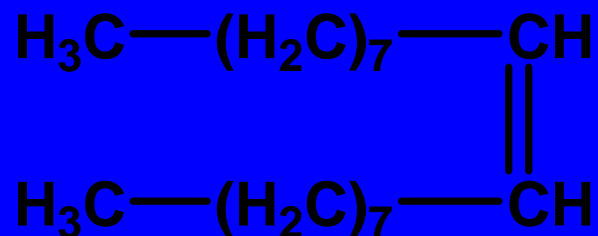
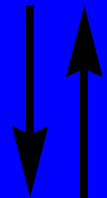
Kat.: $\text{WO}_3 / \text{SiO}_2 + \text{MgO}$; 370°C

Metathese von Ölsäuremethylester

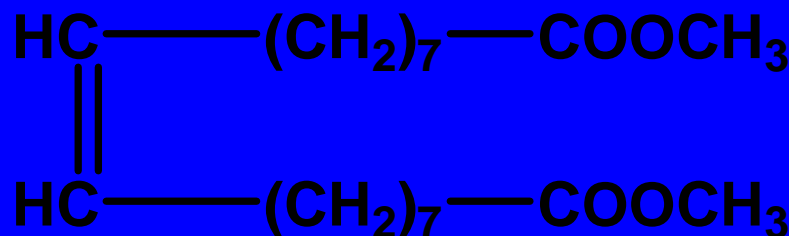


+

50%



+



50%

Katalysatoren für die Metathese unges. Fettsäureester

konventionell:

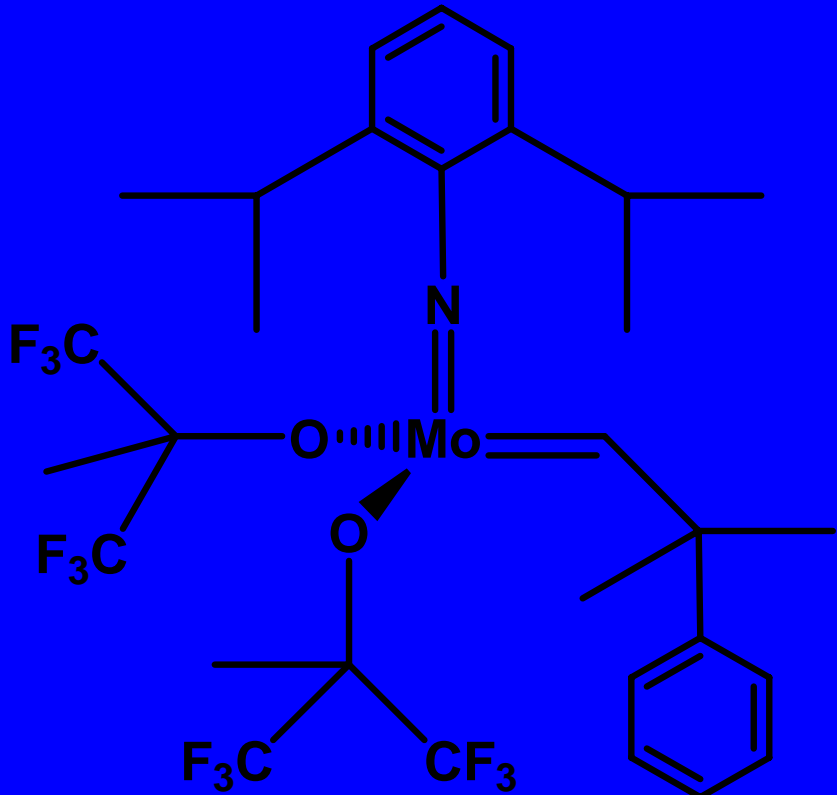
- | | |
|---|----------------------------------|
| $\text{WCl}_6 / \text{SnMe}_4$ | (C. Boelhouwer et al.) |
| $\text{Re}_2\text{O}_7 / \text{Al}_2\text{O}_3 + \text{SnMe}_4$ | (C. Boelhouwer, J.C. Mol et al.) |
| $\text{CH}_3\text{ReO}_3 + \text{Al}_2\text{O}_3$ | (W.A. Herrmann et al.) |

neu:

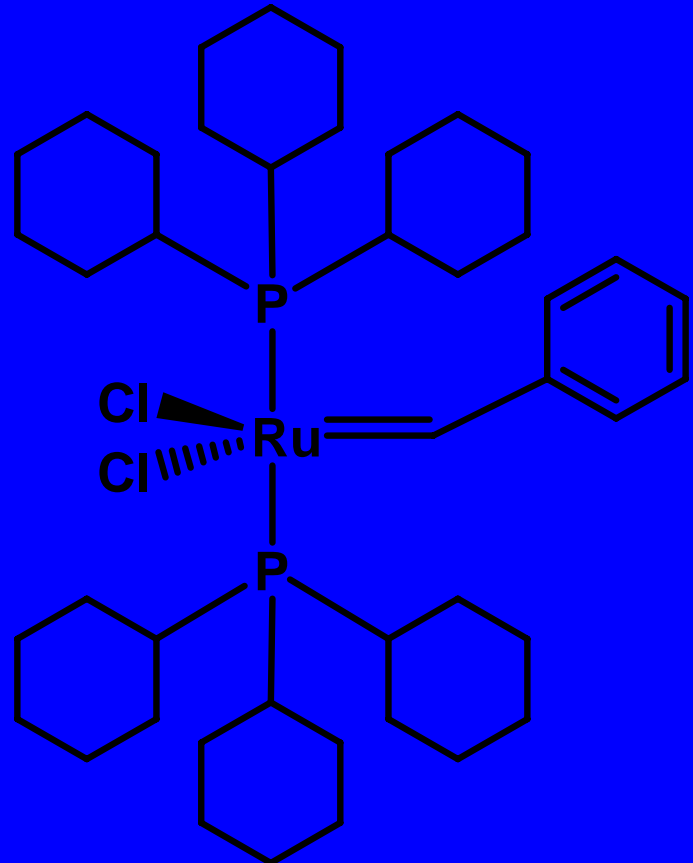
- | |
|---|
| $\text{Re}_2\text{O}_7 - \text{B}_2\text{O}_3 / \text{Al}_2\text{O}_3 - \text{SiO}_2 + \text{SnMe}_4$ |
| $\text{CH}_3\text{ReO}_3 + \text{B}_2\text{O}_3 - \text{Al}_2\text{O}_3 - \text{SiO}_2$ |

$\text{Al}_2\text{O}_3 - \text{SiO}_2$: amorphe Aluminosilikate

Metallcarbene als homogene Ein-Komponenten-Katalysatoren für die Olefin - Metathese

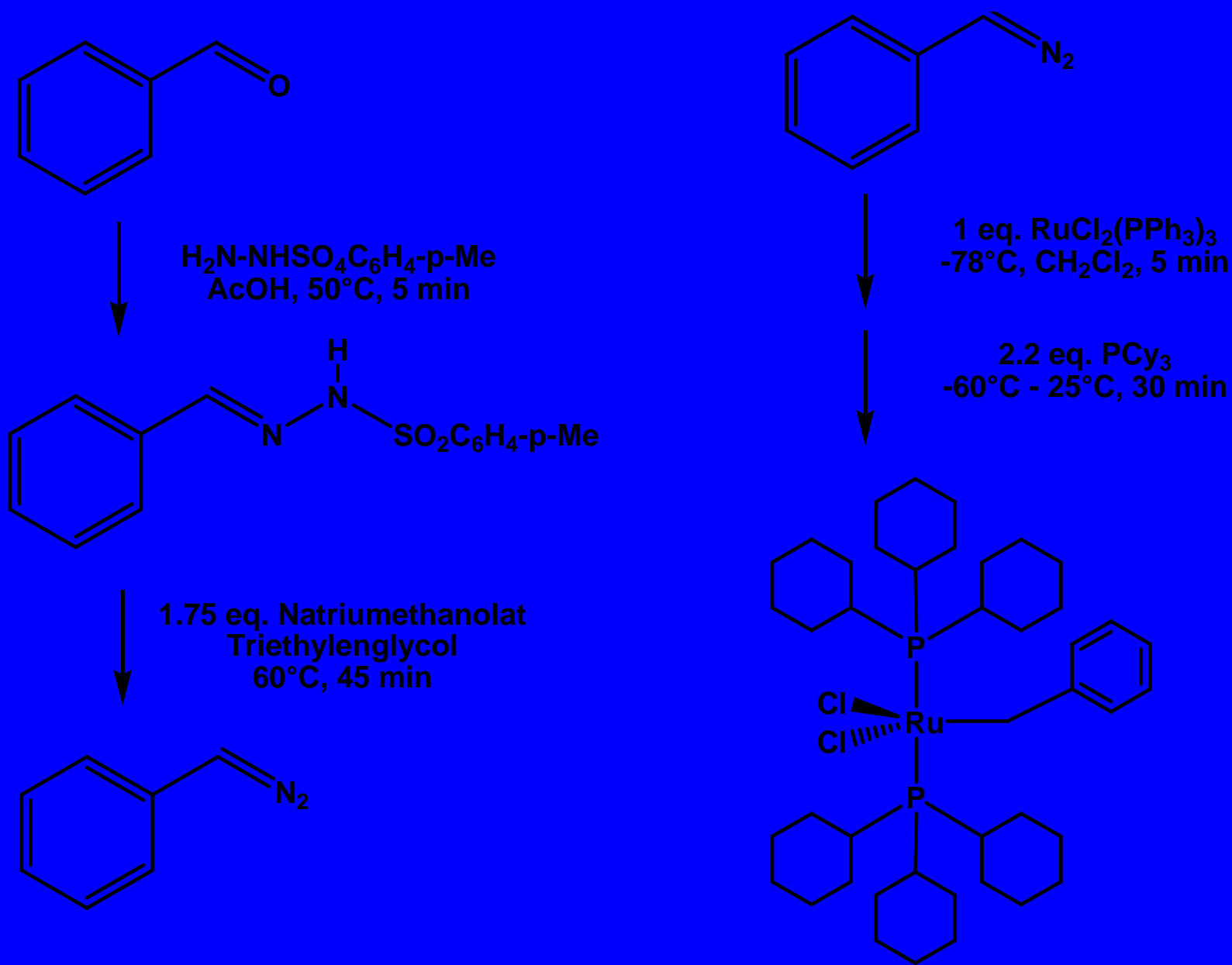


R. Schrock

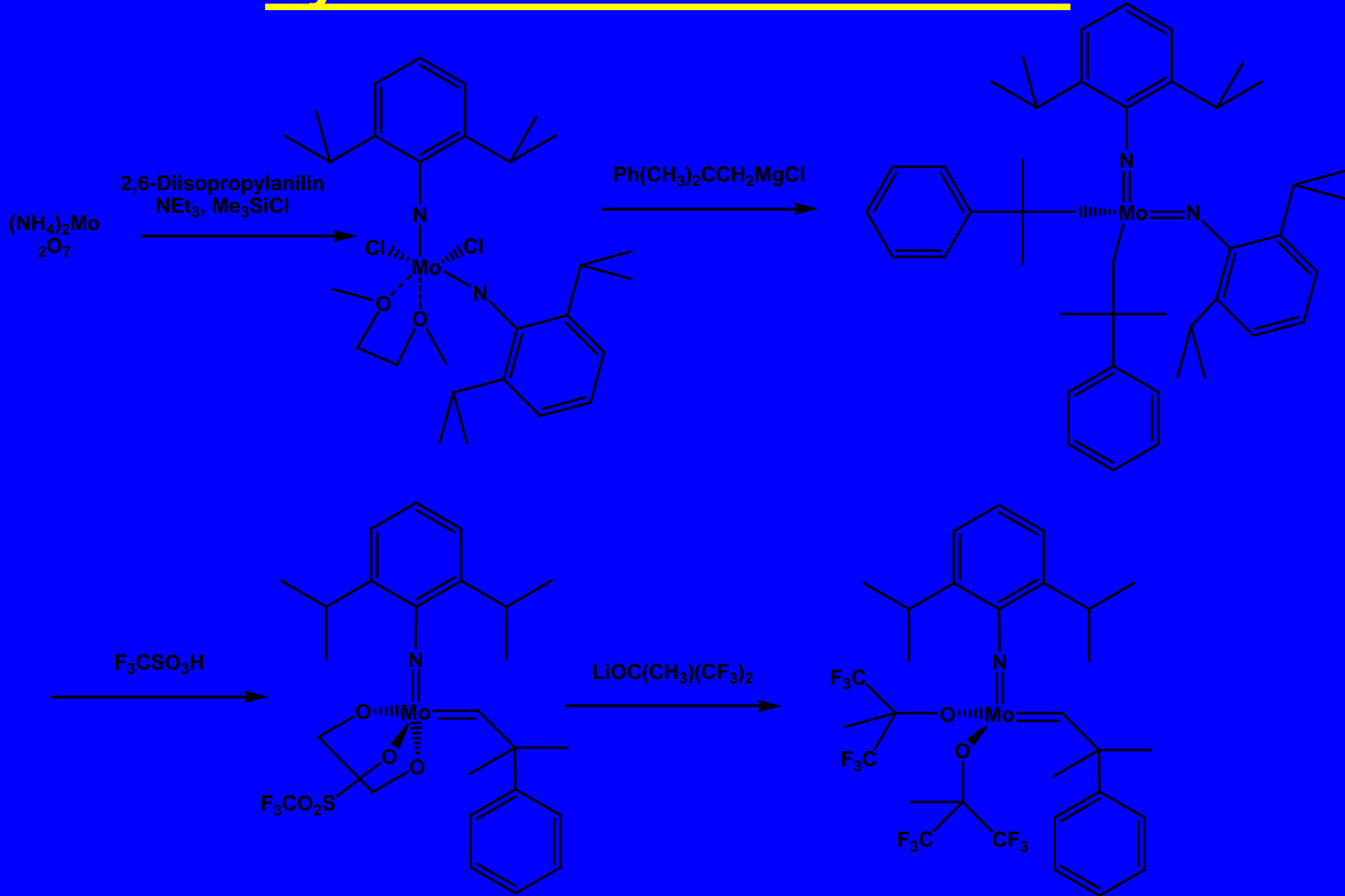


R.H. Grubbs

Synthese von RuCl₂(=CHPh)(PCy₃)₂



Synthese Schrock-Carbene

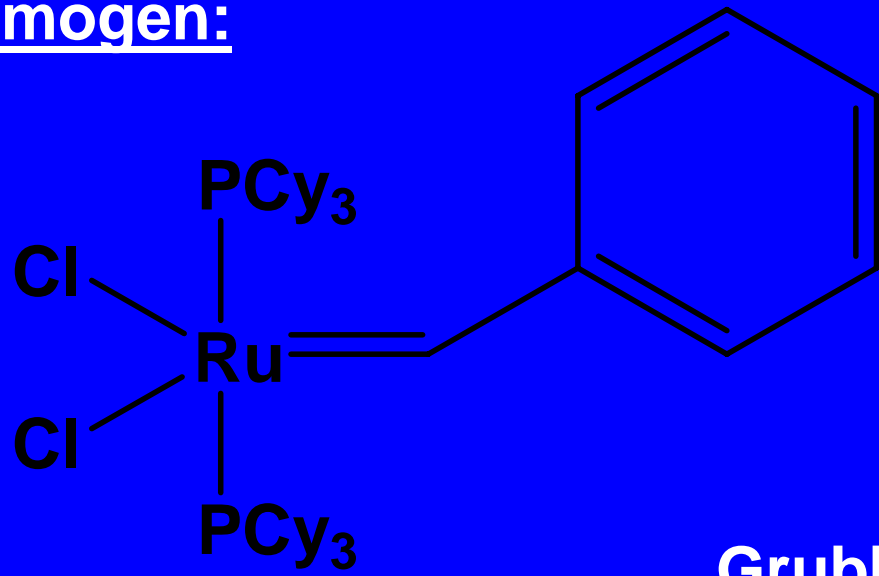


Metathese - Katalysatoren

Heterogen:



Homogen:

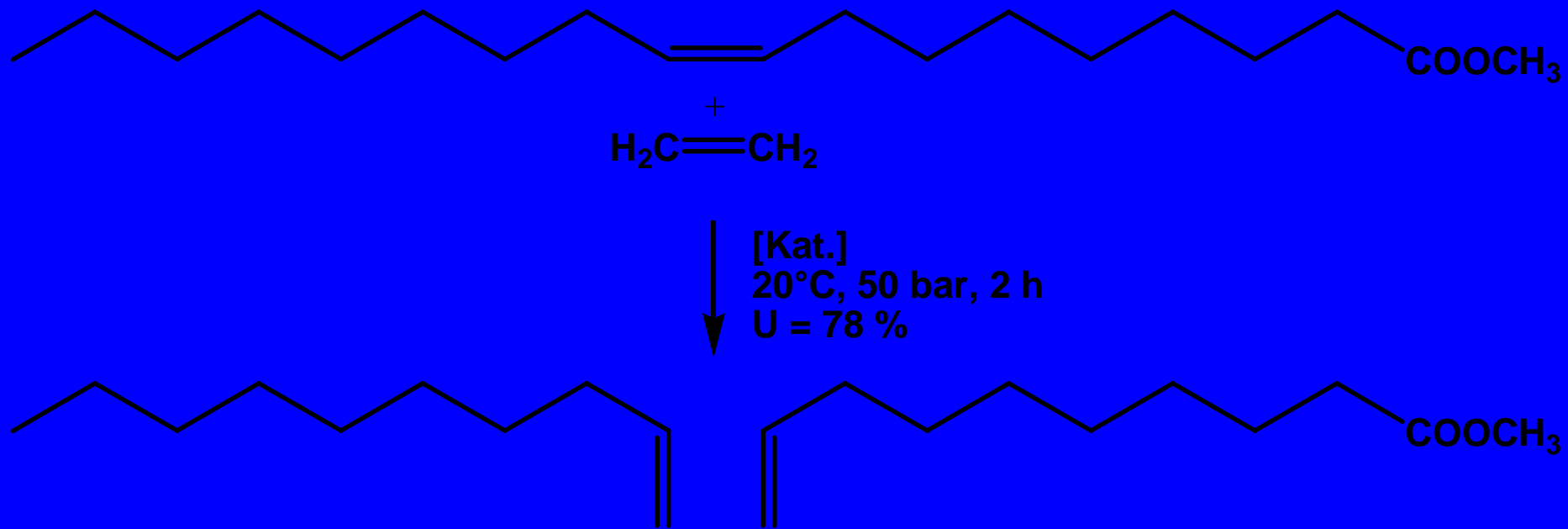


Grubbs - Katalysator

Metathese – Reaktionen von Fettsäurestern

- Kettenveränderung mit symmetrischen Olefinen
- Ethenolyse
- metathetische Kondensation
- metathetische Polykondensation

Metathese von Ölsäuremethylester mit Ethylen an heterogenen Rheniumoxid-Katalysatoren



Edukt: 87%ig aus ölsaurereichem Sonnenblumenöl

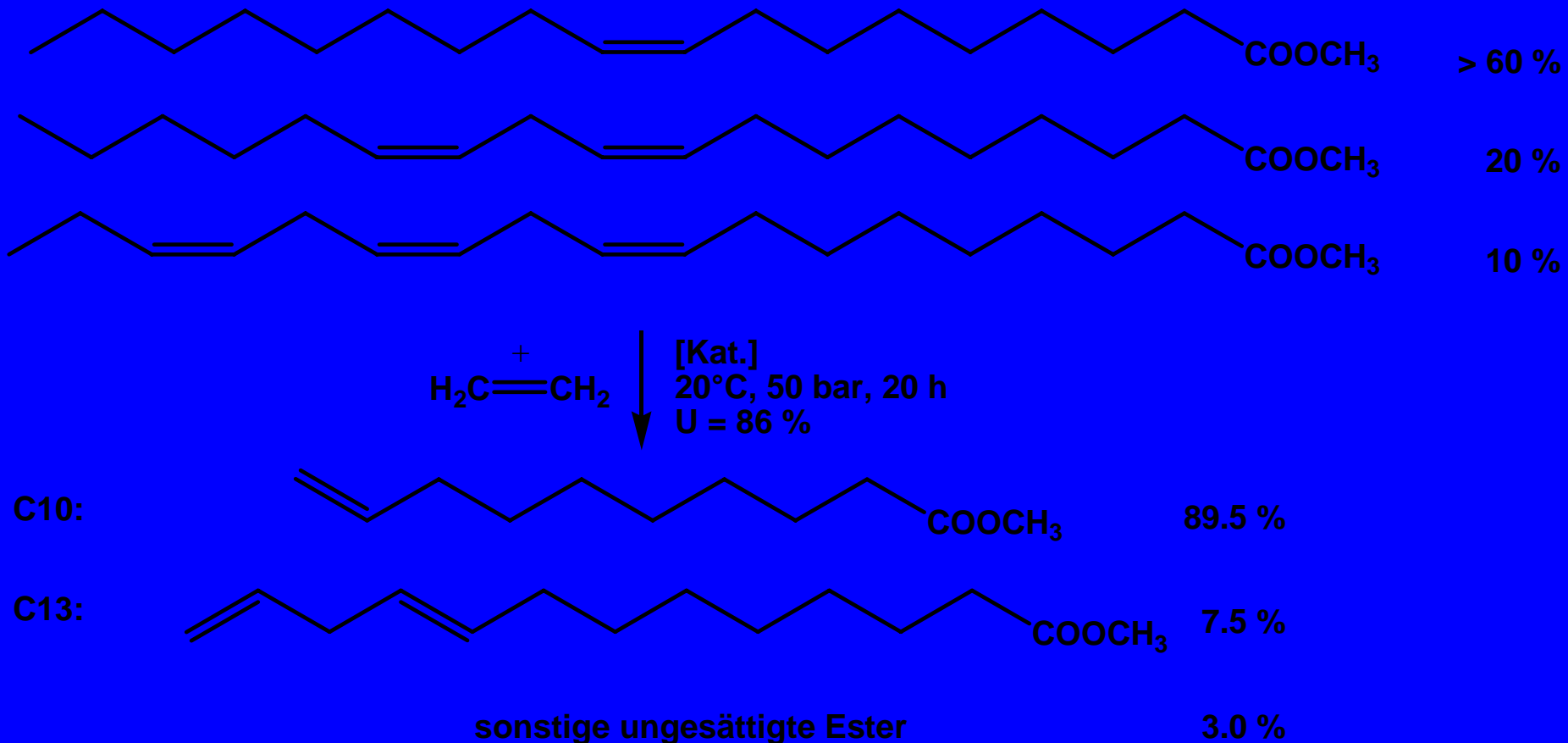
Katalysatoren $\text{B}_2\text{O}_3 - \text{Re}_2\text{O}_7 / \text{Al}_2\text{O}_3 - \text{SiO}_2 + \text{SnMe}_4$

$\text{CH}_3\text{ReO}_3 + \text{B}_2\text{O}_3 - \text{Al}_2\text{O}_3 - \text{SiO}_2$

$\text{Re}_2\text{O}_7 / + \text{SnBu}_4 / \text{Ester} = 1 / 1,5 / 600$ (molar)

Ausbeuten an 9 Decensäuremethylester: > 80 % (nach Destillation)

Metathese von RME („Biodiesel“) mit Ethylen



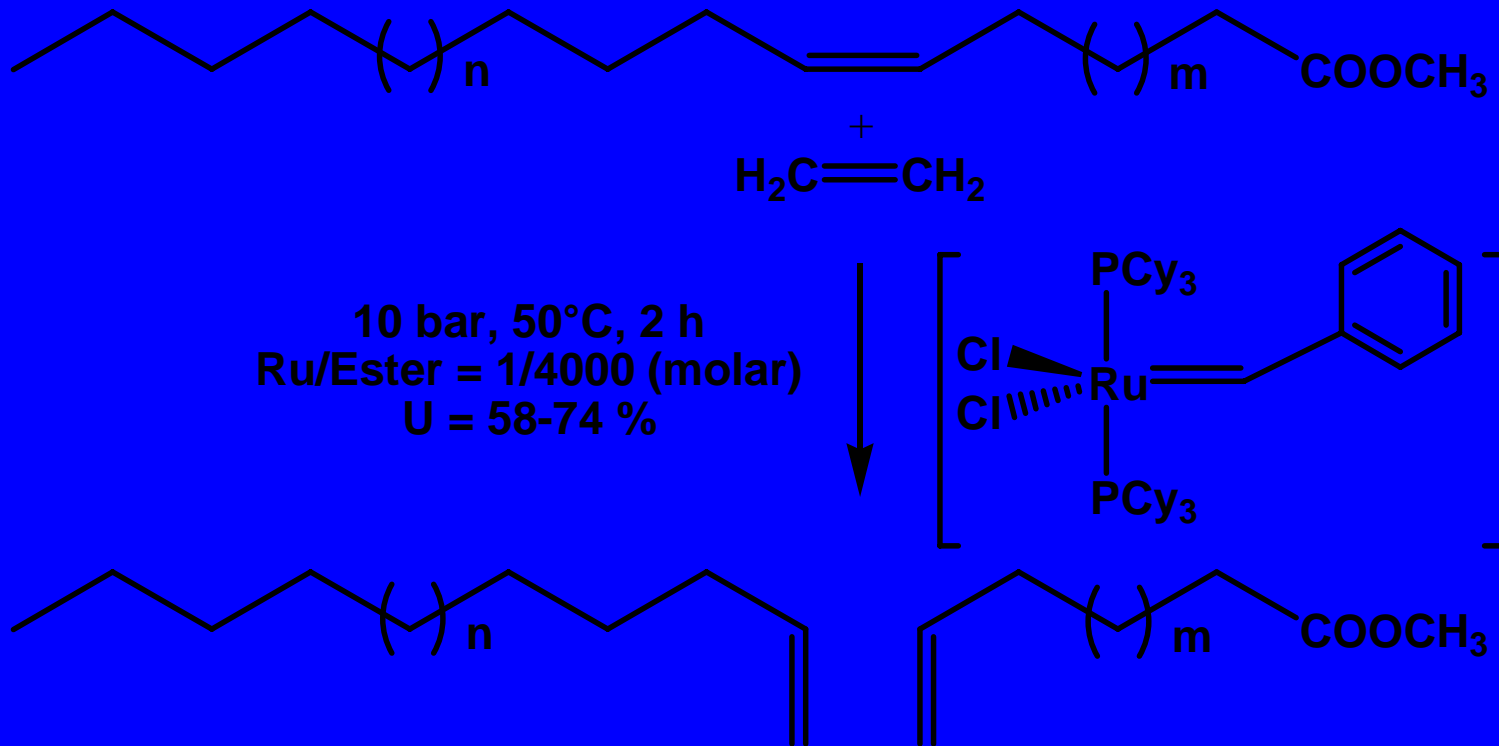
Reaktoren zur Metathese

- Batch - Druckreaktoren
- Airlift - Schlaufenreaktor
- Kontinuierliche Reaktoren

Ungesättigte Fettsäuren in Pflanzenölen

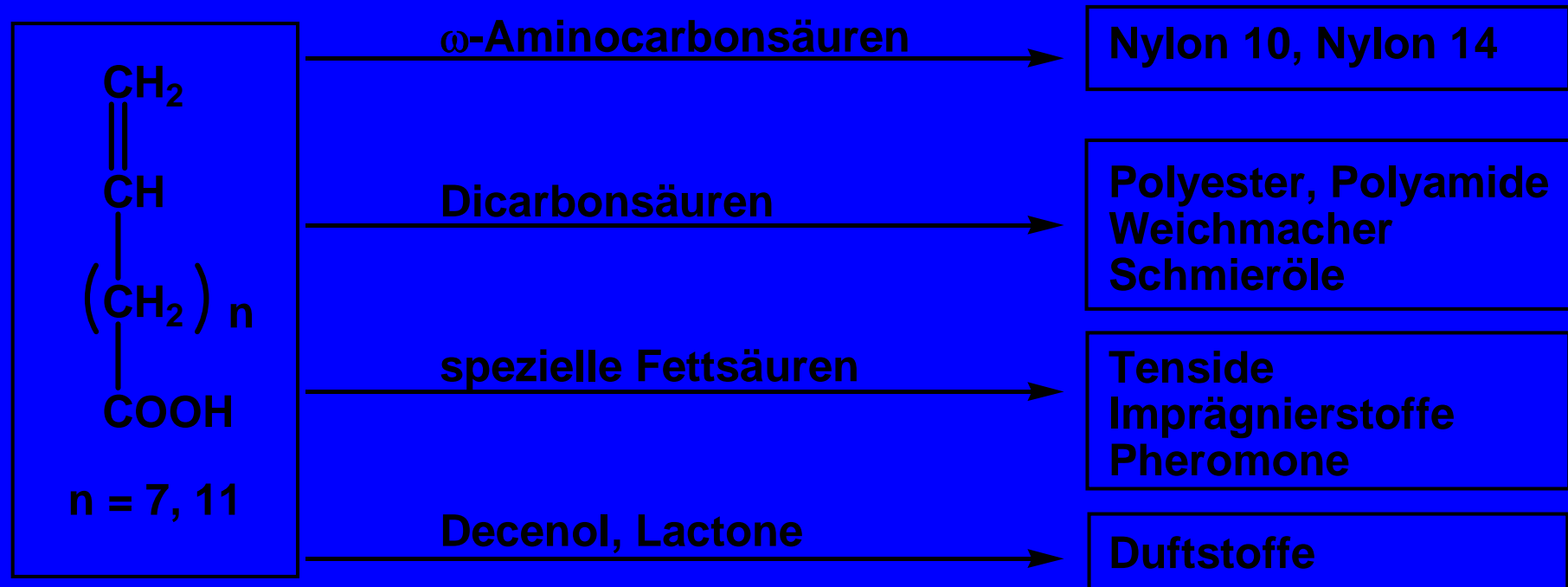
Pflanzenöl	Hauptfettsäure	Anteil (%)
Sonnenblumenöl (hochölsäurereich)	Ölsäure C18:1-Δ9	86
00-Rapsöl	Ölsäure C18:1-Δ9	63
Korianderöl	Petroselinsäure C18:1-Δ6	75
Meadowfoam - Öl	5-Eicosensäure C20:1-Δ5	63
Rapsöl (erucasäurereich)	Erucasäure C22:1-Δ13	48
Crambe - Öl	Erucaäure C22:1-Δ13	59

Metathese ungesättigter Fettsäuremethylester mit Ethylen mittels homogener Ruthenium - Katalysatoren

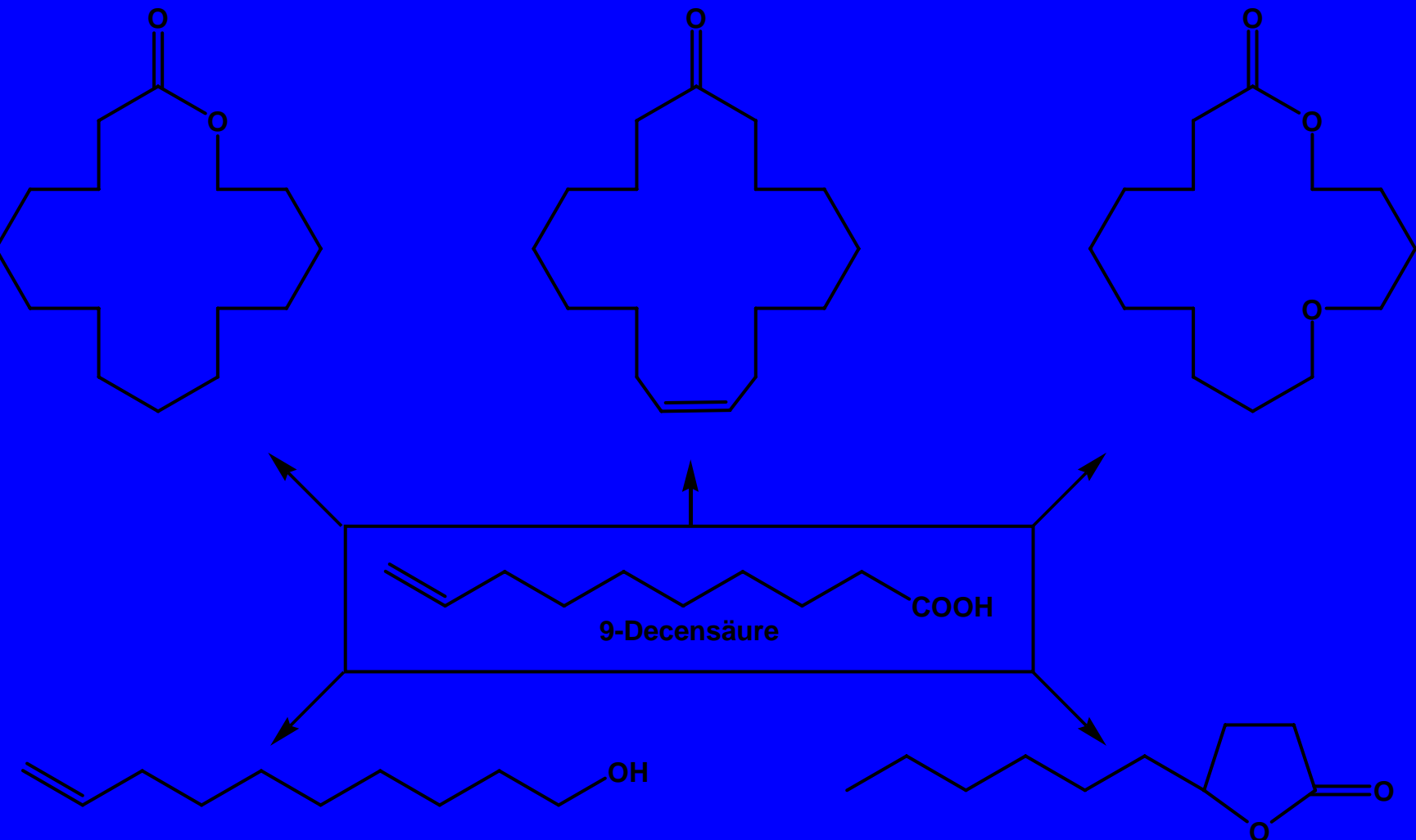


- $m = 1, n = 7:$ 5-Eicosensäure-ME \Rightarrow 5-Hexensäure-ME
- $m = 2, n = 4:$ Petroselinsäure-ME \Rightarrow 6-Heptensäure-ME
- $m = 5, n = 1:$ Ölsäure-ME \Rightarrow 9-Decensäure-ME
- $m = 9, n = 1:$ Erucasäure-ME \Rightarrow 13-Tetradecensäure-ME

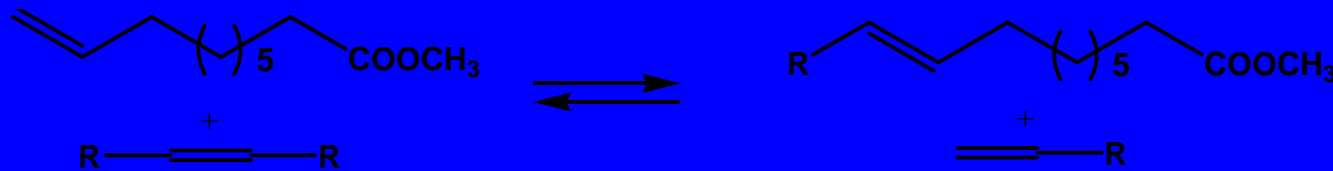
Anwendungspotential von 9-Decensäure und 13-Tetradecensäure



Duftstoffe auf Basis von 9-Decensäure



Insektenpheromone auf Basis von 9-Decensäuremethylester



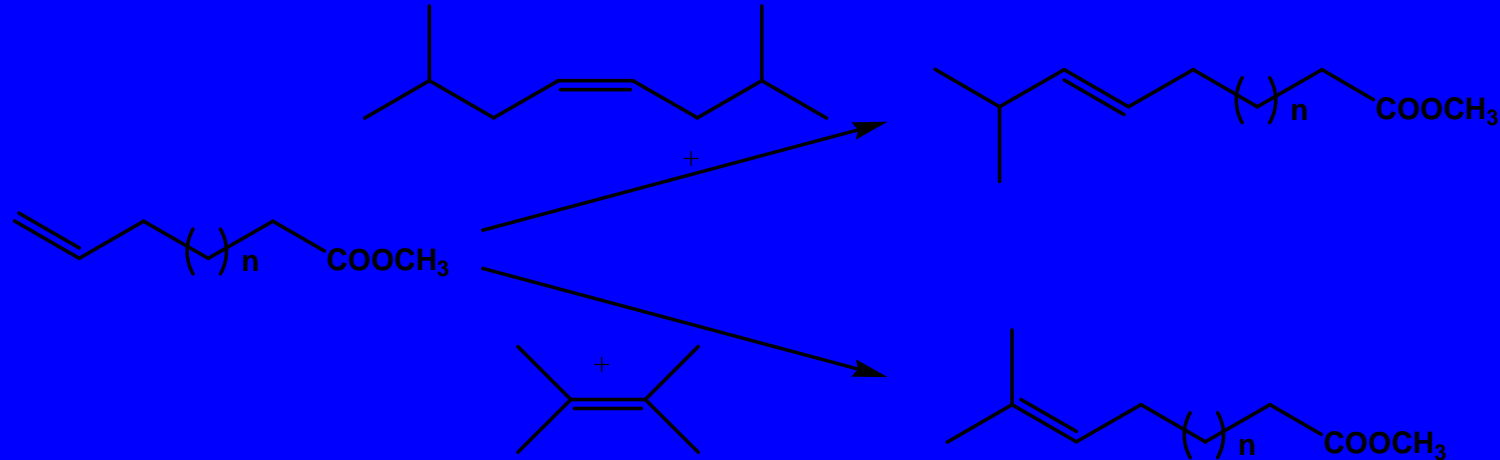
Olefin: 3-Hexen, 4-Octen, 5-Decen, 6-Dodecen, 7-Tetradecen

Kat.: $\text{B}_2\text{O}_3\text{-Re}_2\text{O}_7$ / $\text{Al}_2\text{O}_3\text{-SiO}_2$ + SnBu_4 ; 20°C , 5 h; Re_2O_7 / SnBu_4 / Ester / Olefin = 1 / 1,5 / 1200 / 2400 (molar)

Umsätze: 78-85 %; Co-Metathese 85-89 %

	<u>Pheromon</u>	<u>Insekt</u>
C12		Eucosma sonomana (western pine shoot borer) -Forst-
C13		Eupoecilia ambiguella (Einbindiger Traubewickler) -Weinbau-
C14		z.B. Spodoptera littoralis -Baumwolle- Ostrinia nubilalis -Mais-
C15		Acrobasis rufimbalis
C16		Heliothis zea -Getreide-

Verzweigte Fettsäureester durch Olefin Metathese



A: 2,3-Dimethyl-2-buten;



B: 2,7-Dimethyl-4-octen,



C10: 9-Decensäure,
C11: 10-Undecensäure,
C14: 13-Tetradecensäure,



Kat.: $\text{B}_2\text{O}_3\text{-Re}_2\text{O}_7 / \text{Al}_2\text{O}_3\text{-SiO}_2 + \text{SnBu}_4$;

50°C, 2 h;

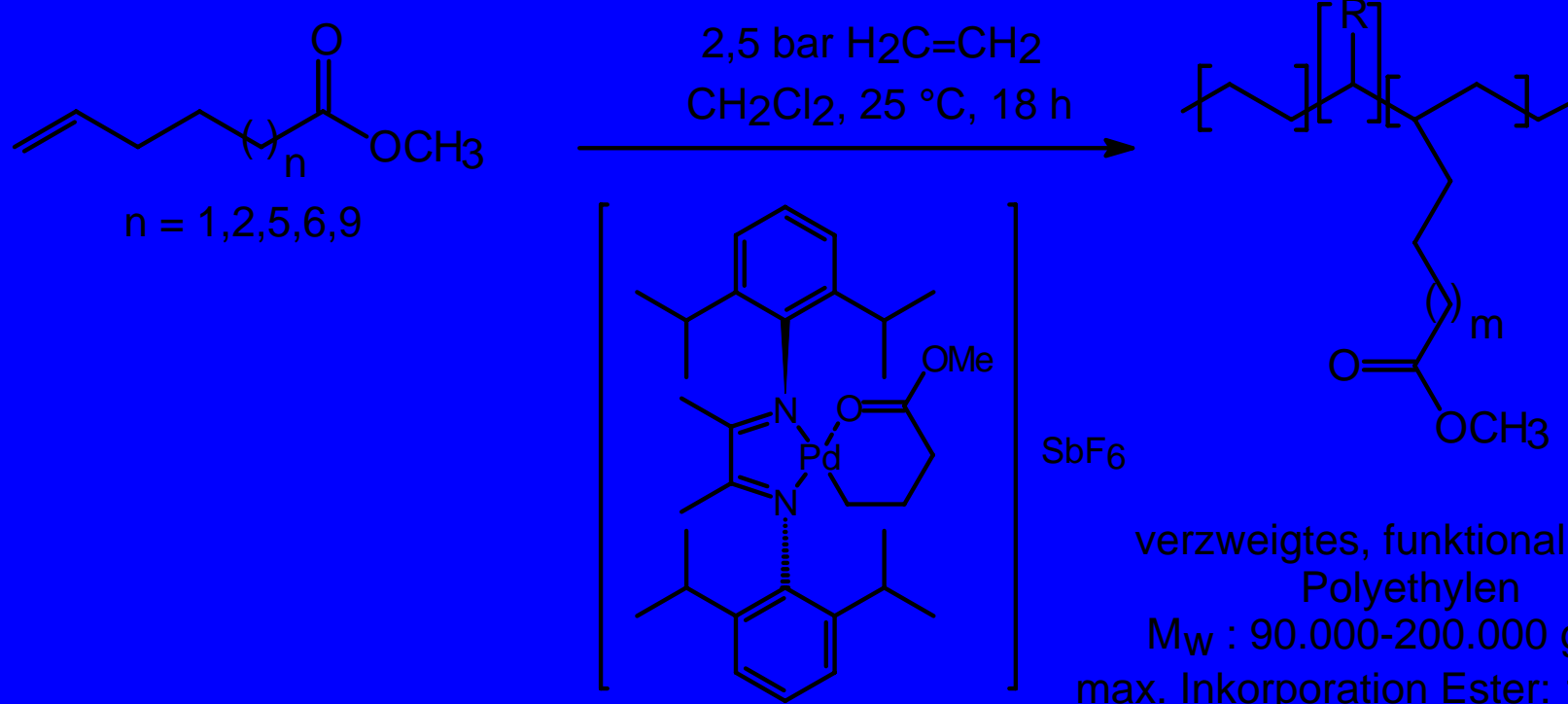
Umsätze: 80-97 %;

Co-Metathese 70-75 %

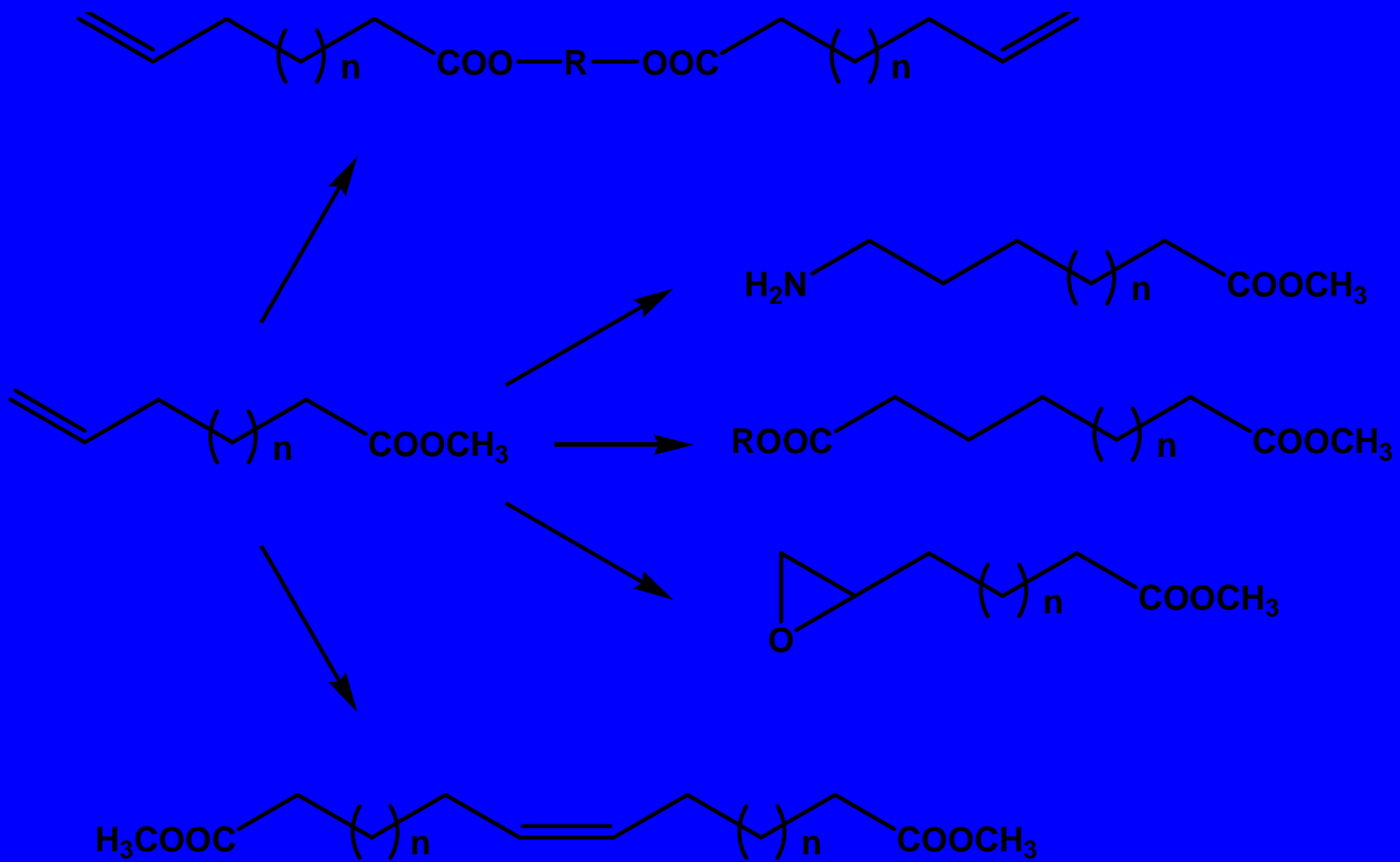


Endständig ungesättigte FSME und Derivate

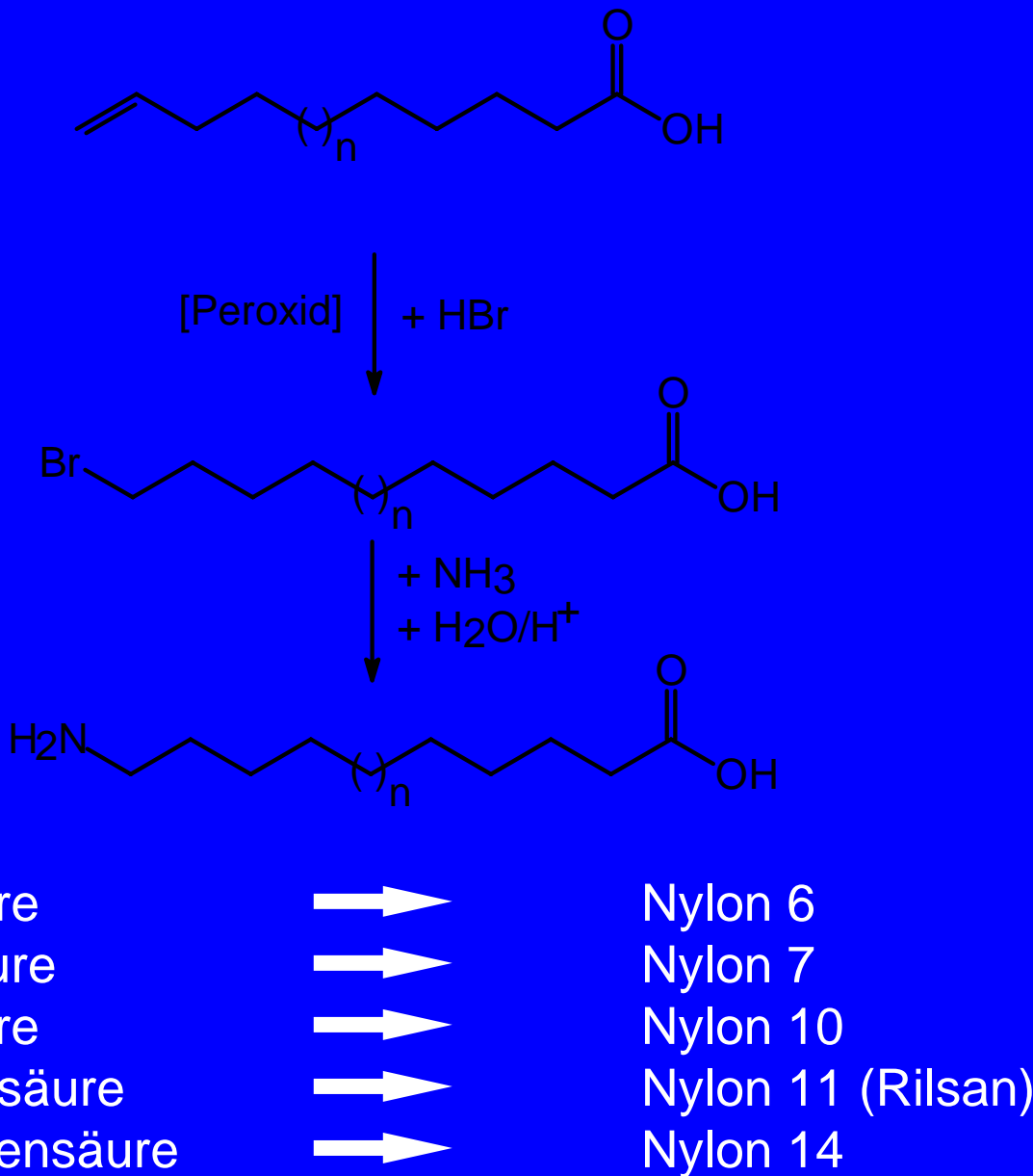
Co-polymerisation von Ethylen mit ω -ungesättigten Fettsäuremethylestern



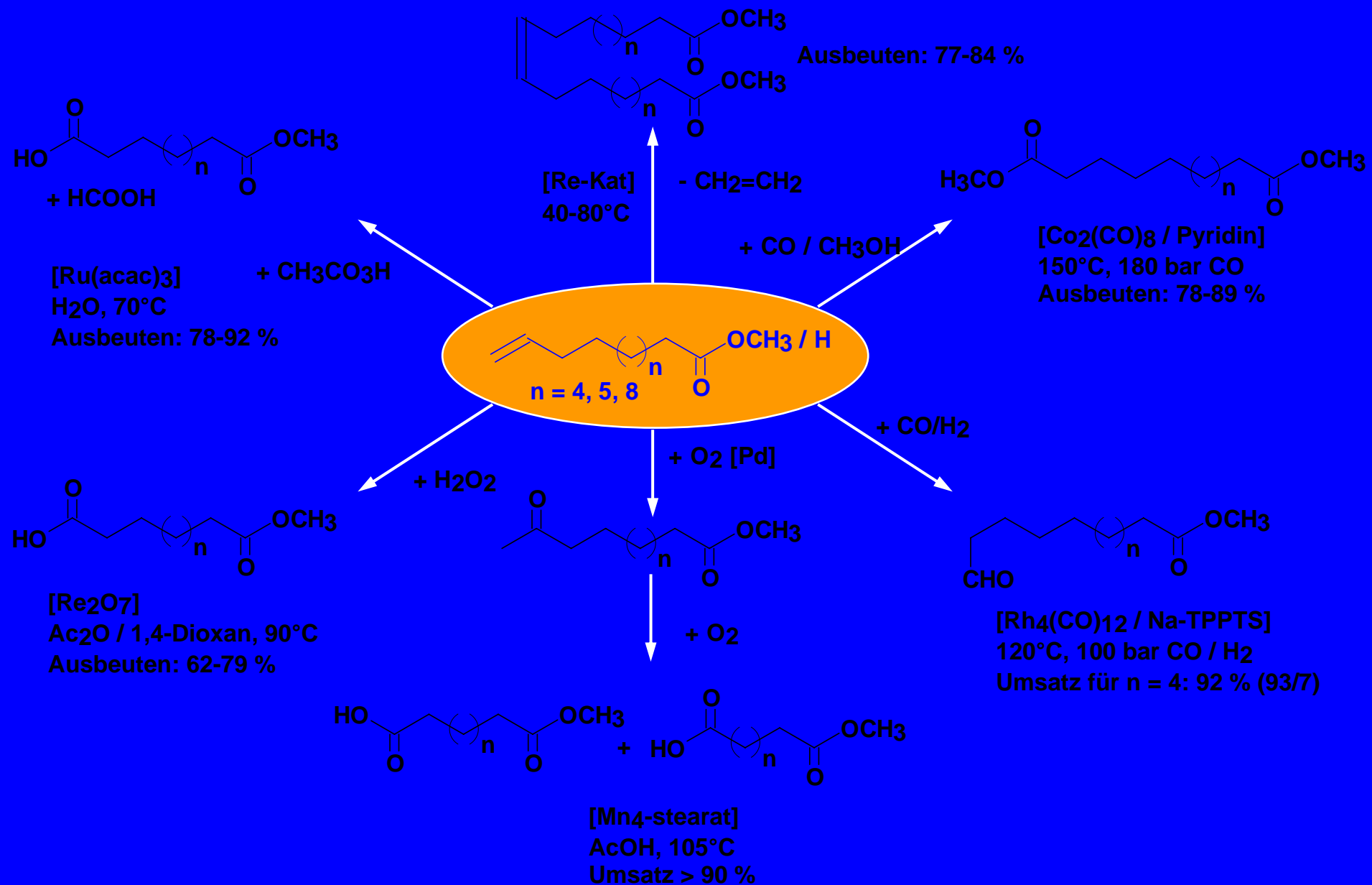
Polymer - Bausteine



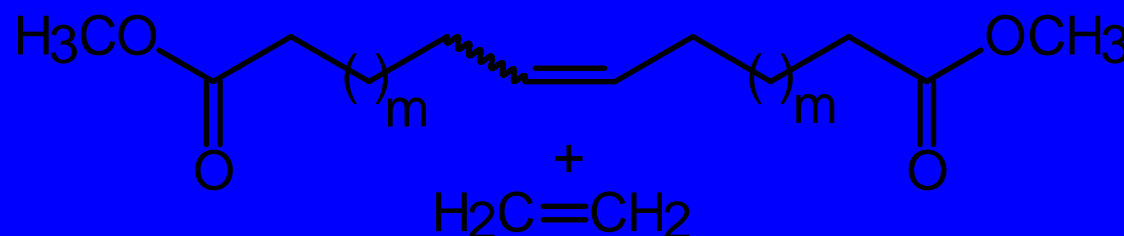
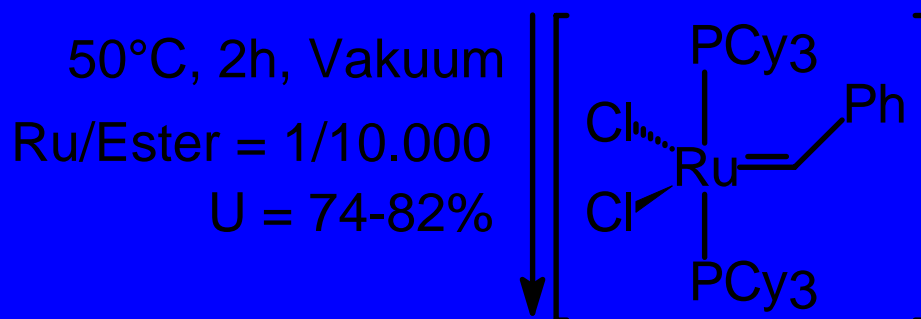
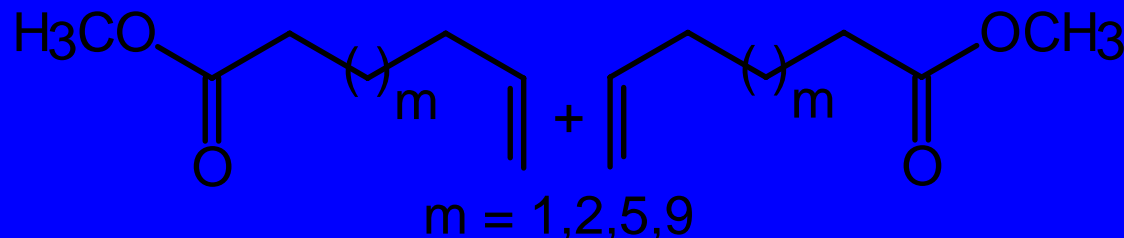
ω -Aminocarbonsäuren



Dicarbonsäuren aus ω -ungesättigten Fettsäureestern

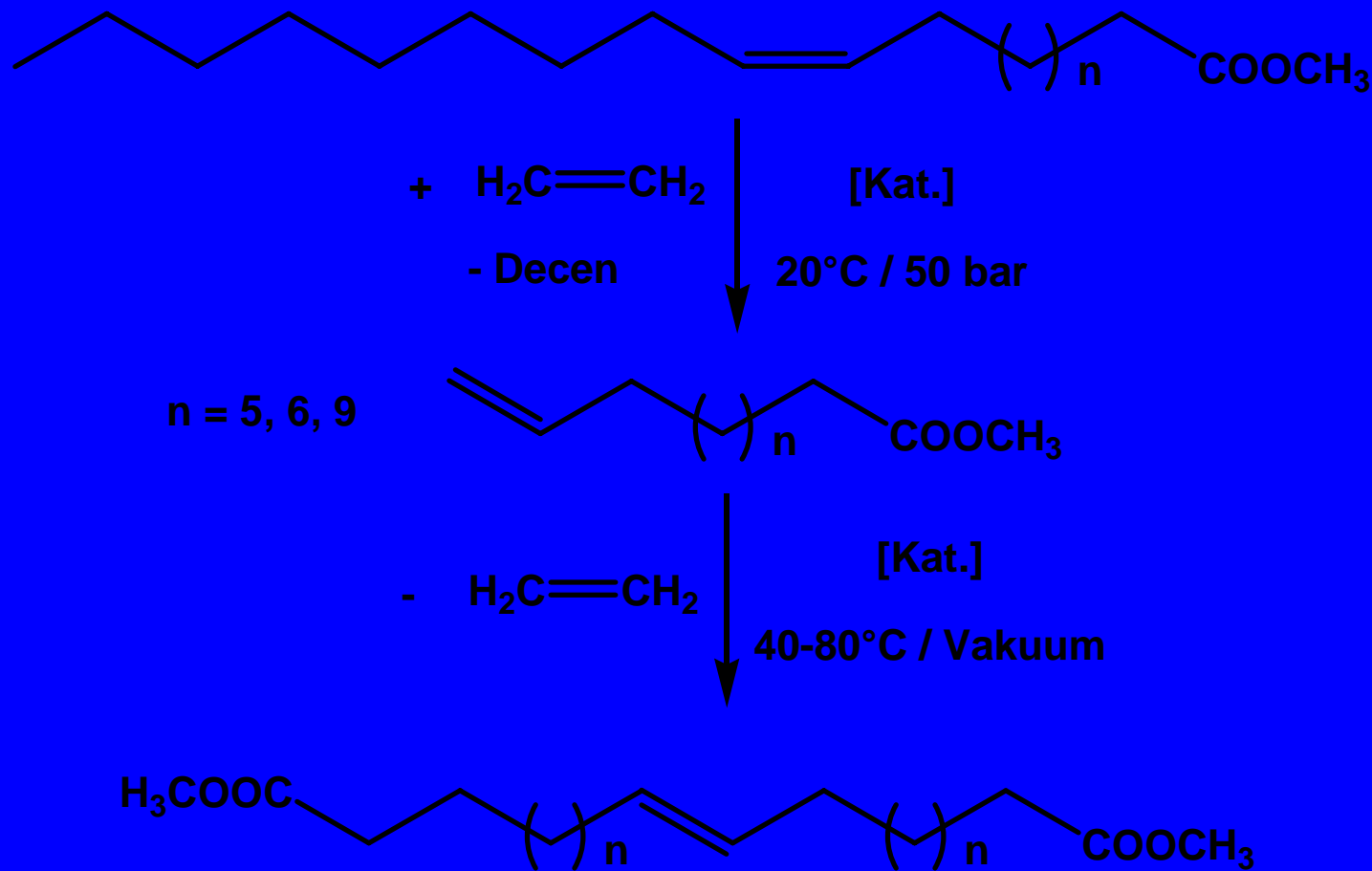


Metathetische Kondensation ungesättigter Fettsäureester



- | | | |
|-------------------------|--|-------------------------------------|
| 5-Hexensäureester |  | C ₁₀ -Dicarbonsäureester |
| 6-Heptensäureester |  | C ₁₂ -Dicarbonsäureester |
| 9-Decensäureester |  | C ₁₈ -Dicarbonsäureester |
| 10-Undecensäureester |  | C ₂₀ -Dicarbonsäureester |
| 13-Tetradecensäureester |  | C ₂₆ -Dicarbonsäureester |

Langkettige, ungesättigte Dicarbonsäureester durch metathetische Kondensation



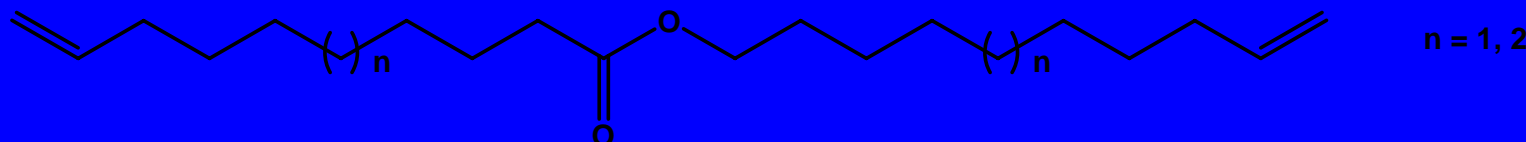
Kat.: $\text{B}_2\text{O}_3 - \text{Re}_2\text{O}_7 / \text{Al}_2\text{O}_3 - \text{SiO}_2 + \text{SnMe}_4$ or $\text{CH}_3\text{ReO}_3 + \text{B}_2\text{O}_3 - \text{Al}_2\text{O}_3 - \text{SiO}_2$

C18-, C20, C26-Dicarbonsäureester; Ausbeuten 77-84 %

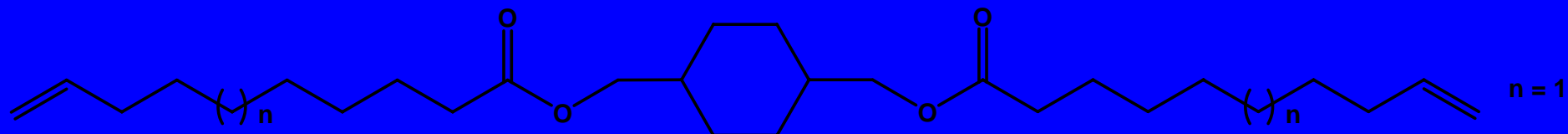
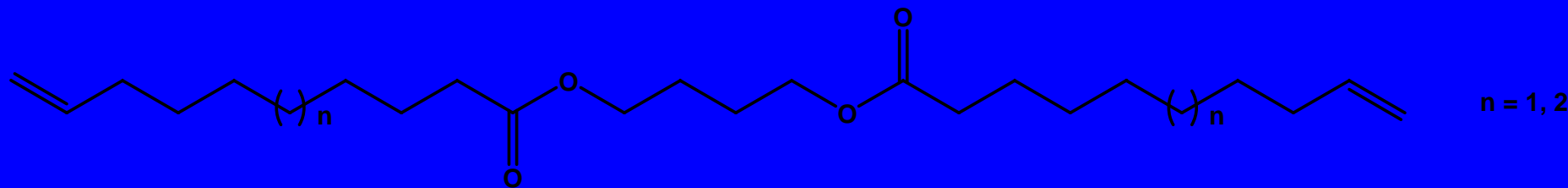
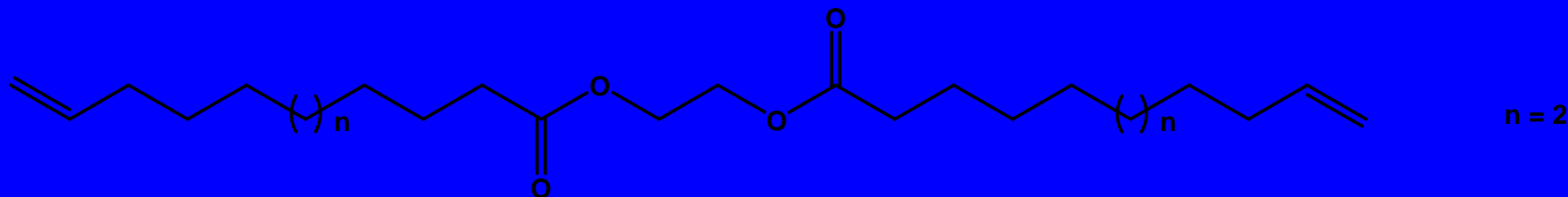
S. Warwel, H.G. Jägers und S. Thomas, fat Sci. Technol. 94, 323 (1992)

α,ω -ungesättigte Fettsäureester aus ω -ungesättigten Estern

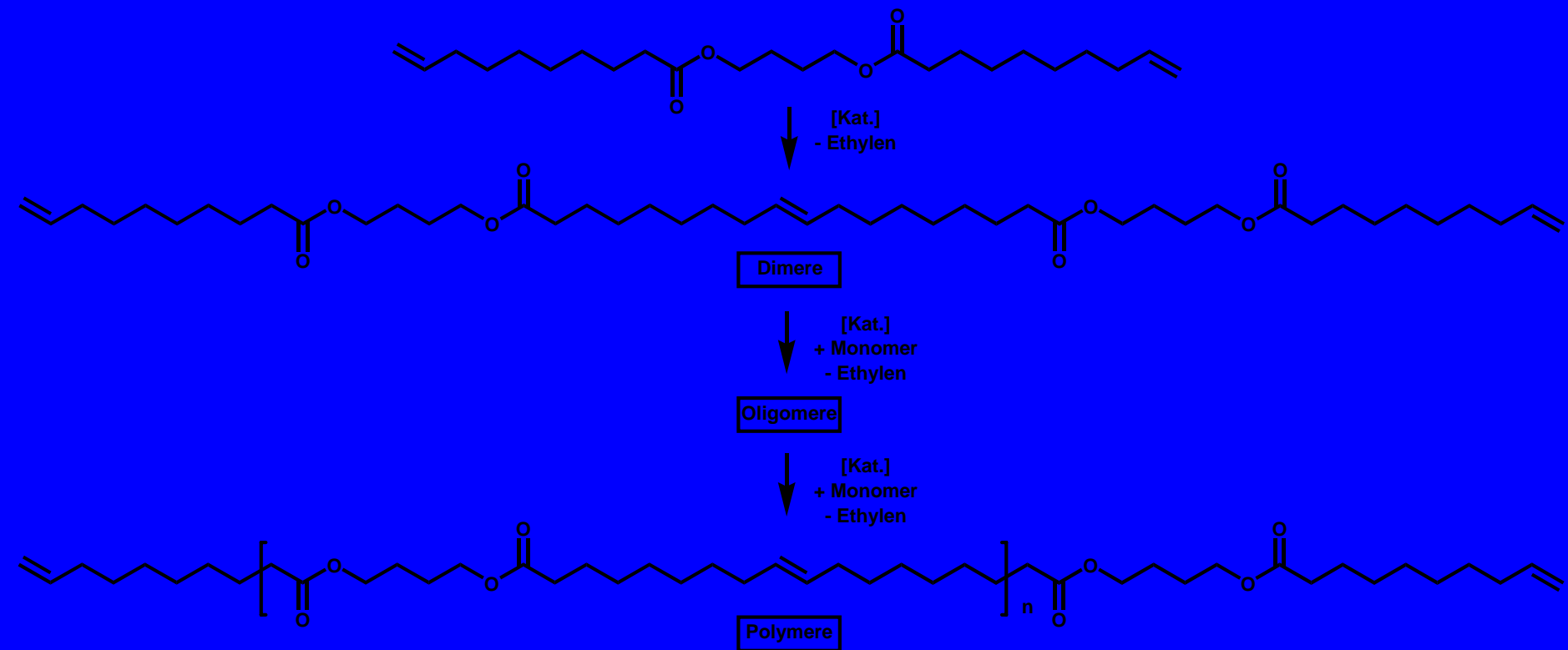
- durch Umesterung mit dem Alkohol gleicher Kettenlänge



- durch Umesterung mit bifunktionellen Alkoholen petrochemischer Herkunft



Metathetische Polykondensation von 1,4-Butylendi-9-decenat



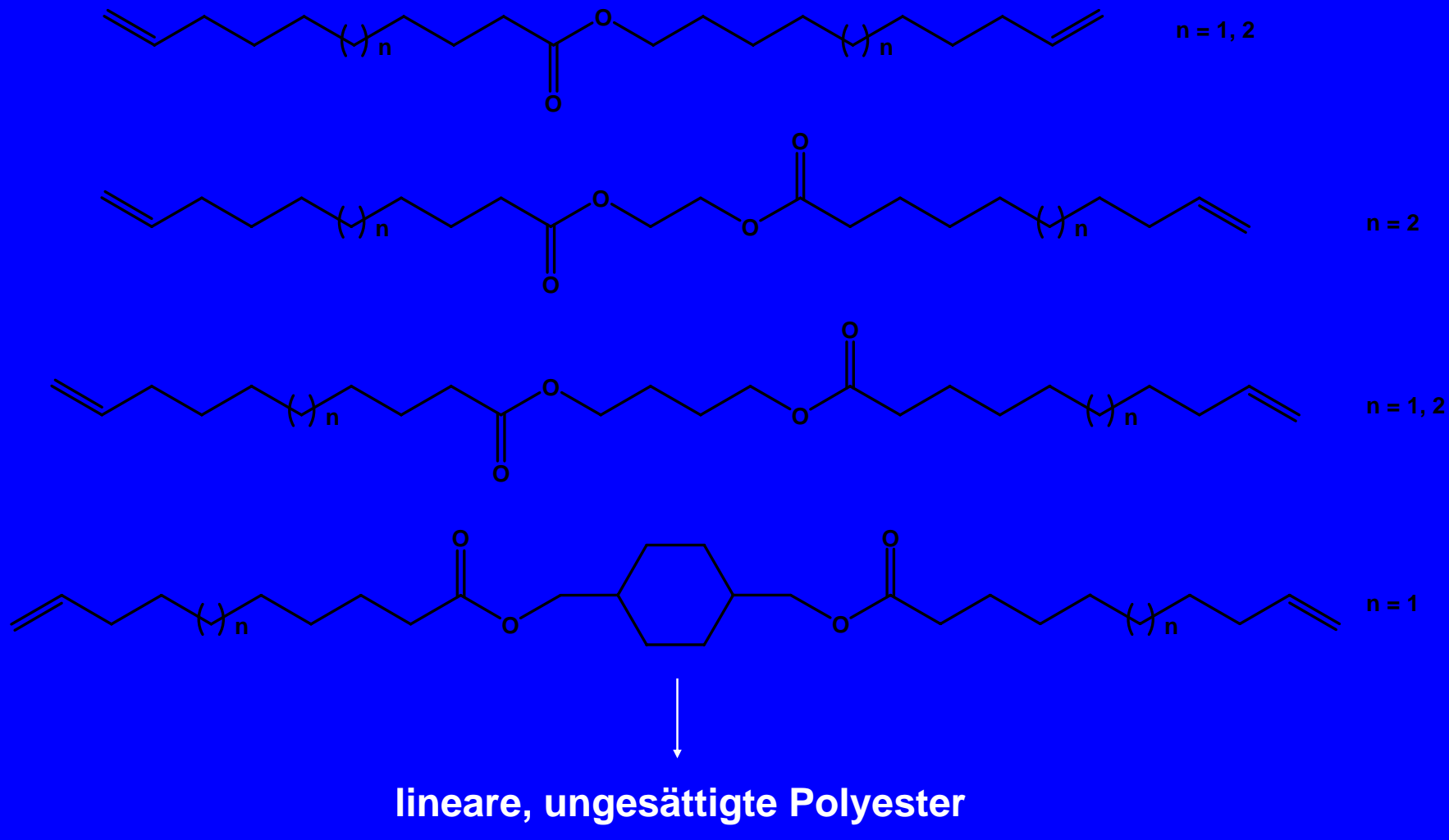
Mw = 99.800 g/mol

Katalysator: $B_2O_3 - Re_2O_7 / Al_2O_3 - SiO_2 + SnMe_4$

Bedingungen: 80°C, 24 h, 0.1 mbar Vakuum

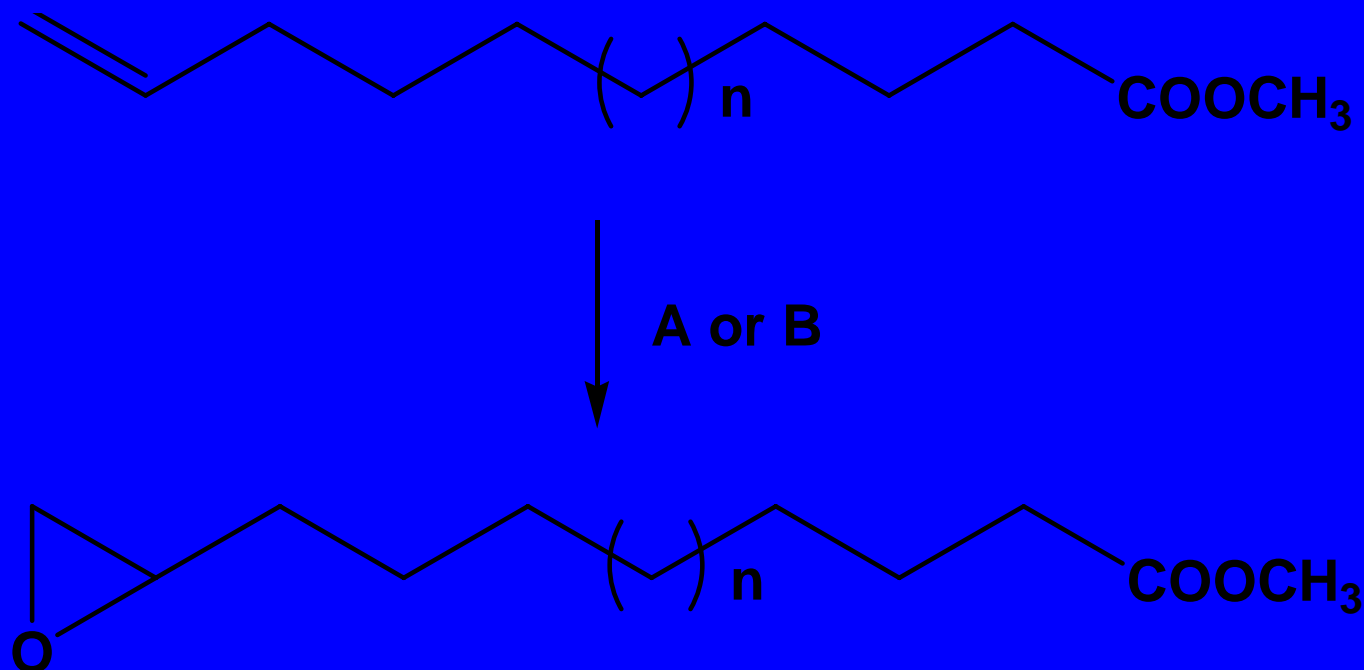
Metathetische Polykondensation

α,ω -ungesättigter Fettsäureester



Mw: 38.000 – 100.000 g/mol; Smp.: 36 - 70°C

Epoxidation ω -ungesättigter Fettsäureester



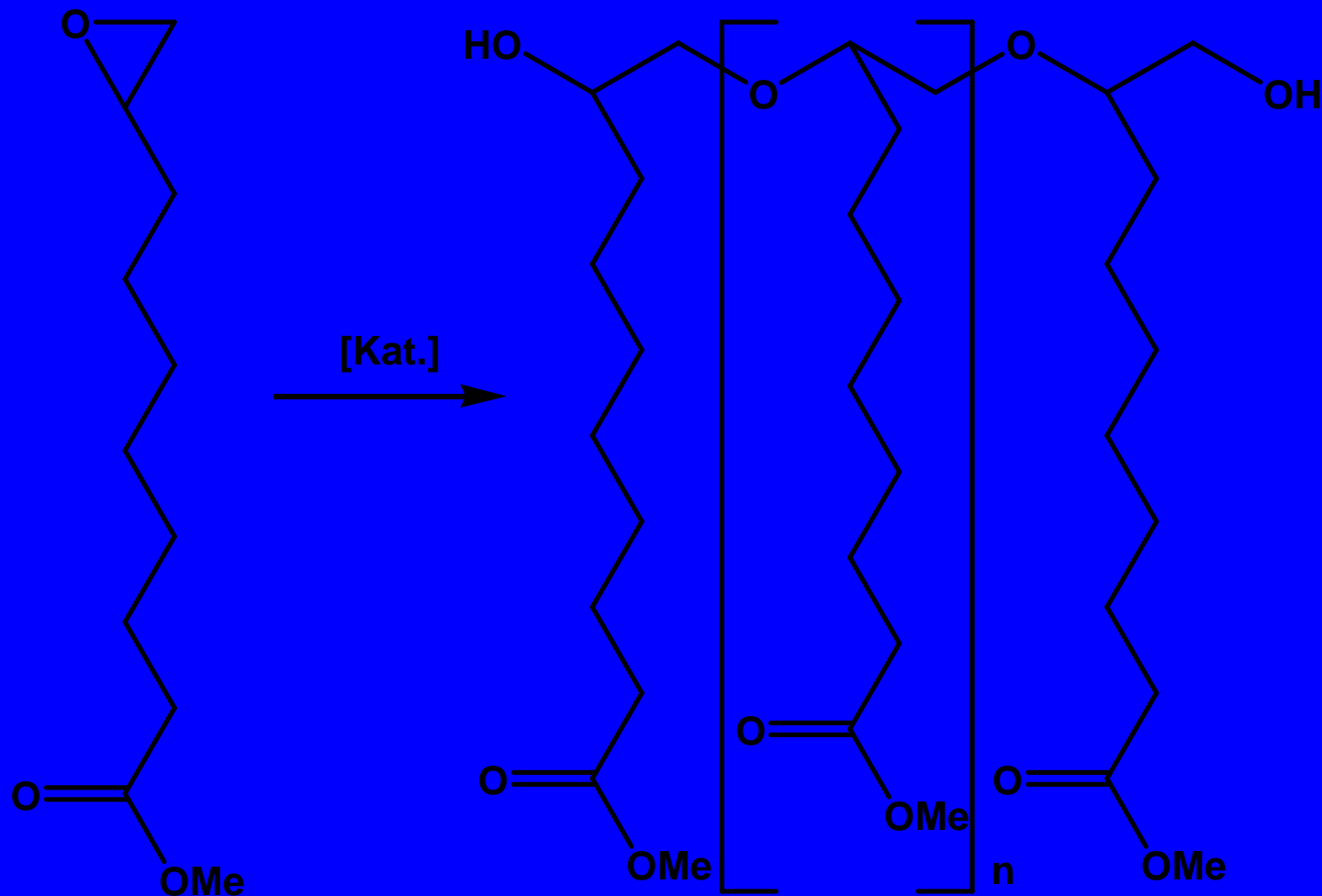
Ausbeuten: 70 - 90 %

A: + $\text{CH}_3\text{CO}_3\text{H}$ in $\text{C}_2\text{H}_4\text{Cl}_2$, RT

B: + H_2O_2 , [Lipase], 40°C,
in Methylacetate oder Dimethylcarbonat

Fettchemische Polyether

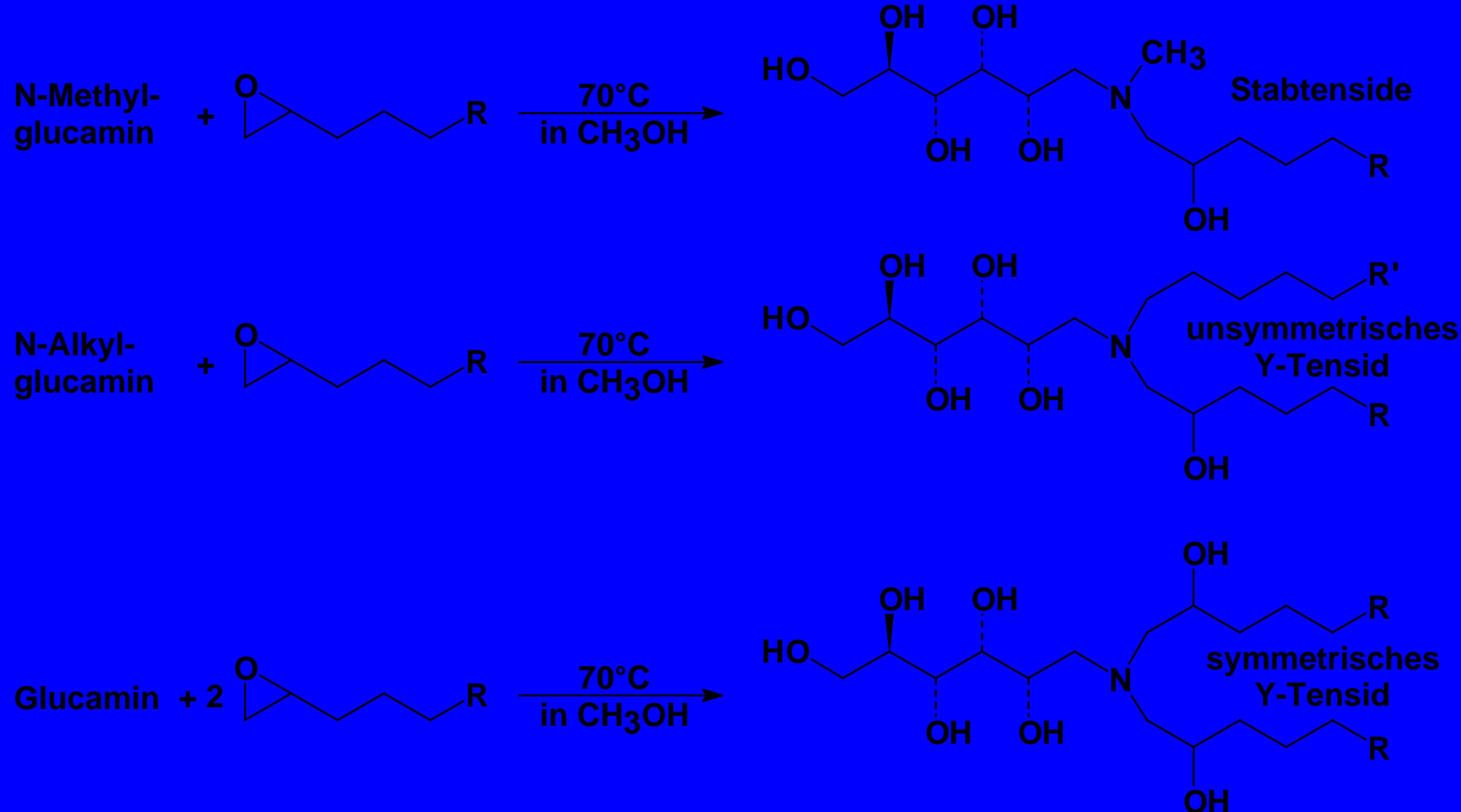
Kamm-Polymere aus fettchemischen Epoxiden



Kat.: Methylalumininoxan / Acetylacetone, Al / AcAc / Epoxide = 1 / 1 / 20 (molar)

100°C, 120 h, Toluol, Epoxide-Umsatz: 85 %, Mw: 435.000 g/mol

Strukturierte Kohlenhydrate – Tenside aus Zuckeraminen und endständigen Epoxiden

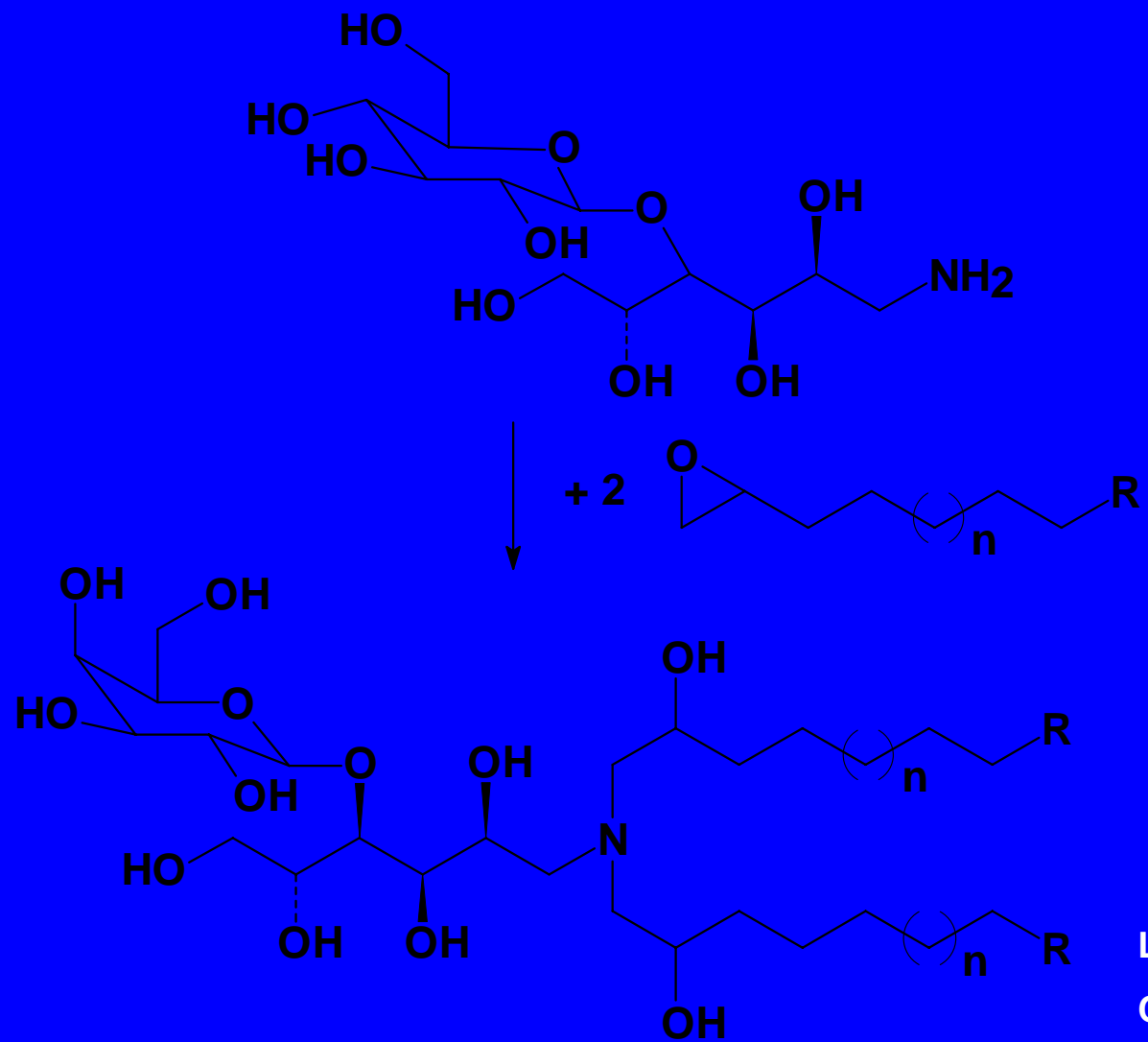


S. Warwel, F. Brüse, et al.: *Tenside Surf. Det.* 38 (2001) 7-14

Eur. J. Lipid Sci. Technol. 103 (2001) 645-654

Oleagineux Crops gras Lipides 8 (2001) 57-59

Zucker – Tenside auf Basis von Lactamin

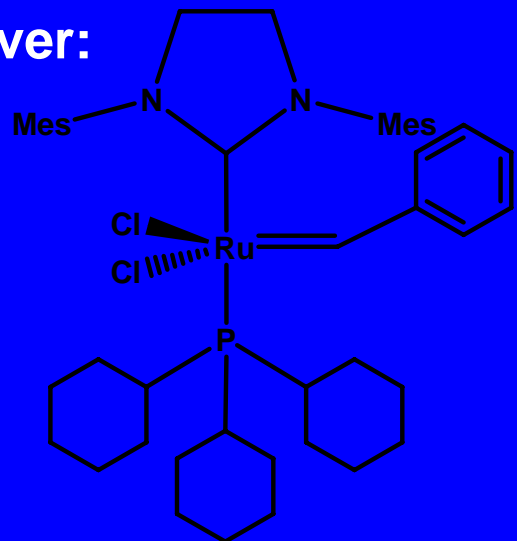


$\text{R} = \text{CH}_3; n = 1, 3, 5, 7, 9$
 $\text{R} = \text{COOCH}_3; n = 3, 4, 7$

Löslichkeiten: 45-3400 mg/l
CMC: 1-500 mg/l;
OFS(γ): 25 - 38 mN/m

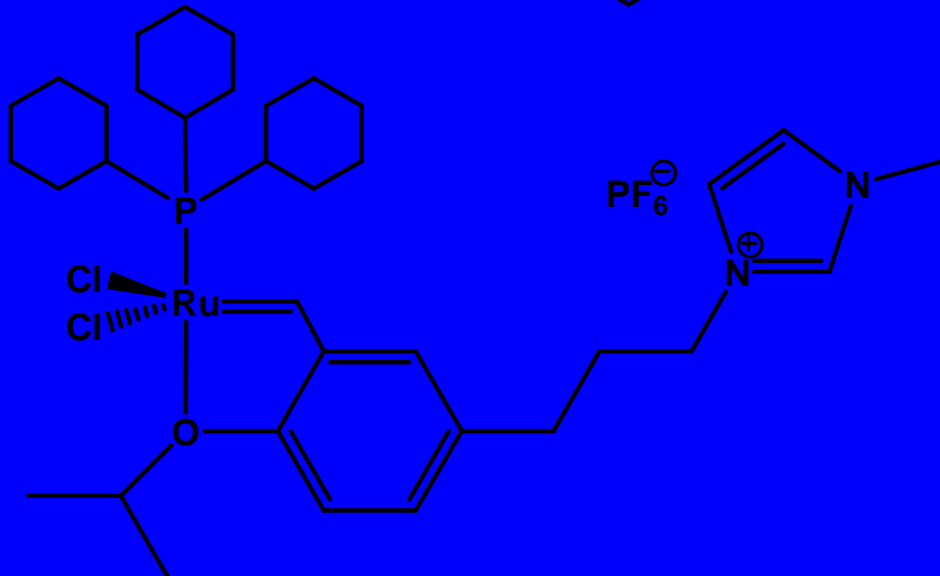
Neue Katalysatoren

Aktiver:



Mes = Mesityl

Metathese mit
ionischer Flüssigkeit
als Katalysatorträger:



Polymer – gebunden:

